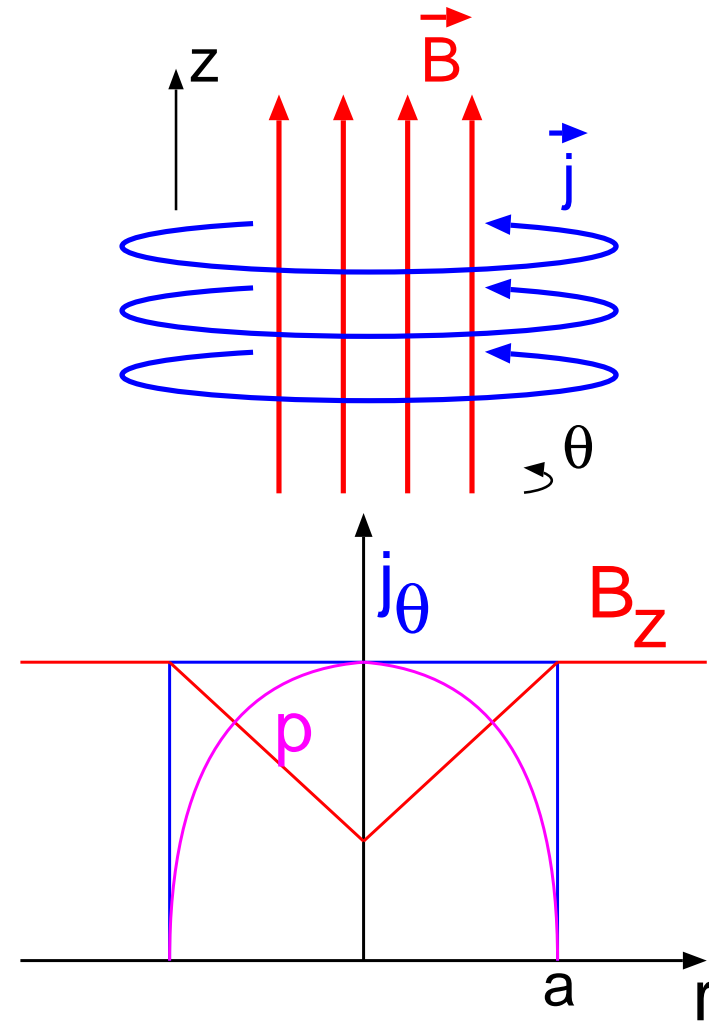
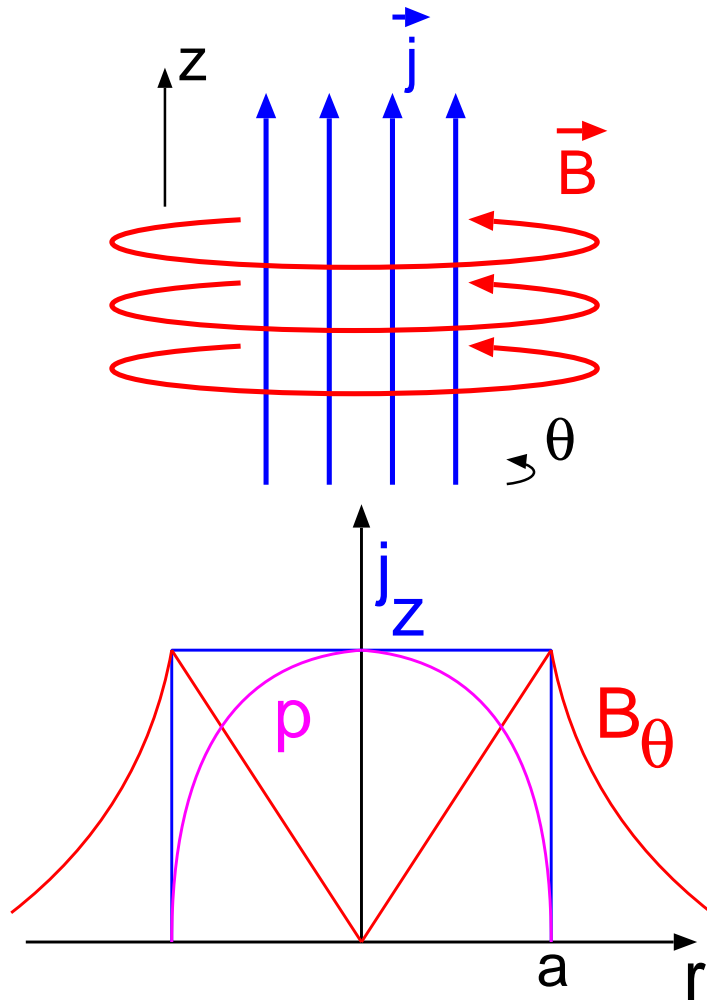


# Magnetischer Einschluss



# Inhalt

- MHD-Kraftgleichgewicht
- Magnetische Flächen
- Gerade, “ein-dimensionale”, Kraft-Gleichgewichte
  - *z-pinch*
  - *$\theta$ -pinch*
  - *screw pinch*

## MHD-Gleichungen

Kontinuitätsgleichung:

$$\frac{\partial}{\partial t} n + \nabla \cdot (n \vec{u}) = 0$$

Kraftgleichung:

$$m \frac{d}{dt} (n \vec{u}) = m n \frac{\partial \vec{u}}{\partial t} + mn (\vec{u} \cdot \nabla) \vec{u} = \rho \vec{E} + \vec{j} \times \vec{B} - \nabla \cdot \vec{P}_0$$

Verallgemeinertes Ohm'sches Gesetz:

$$\vec{E} + \vec{u} \times \vec{B} = \eta_0 \vec{j}$$

Zustandsgleichung, z.B. adiabatisch mit  $z$  Freiheitsgraden:

$$\frac{d}{dt} \left( \frac{p}{n^\gamma} \right) = 0, \quad \gamma = \frac{z+2}{z}$$

Maxwell-Gleichungen ( $\vec{E}$  statisch, Ladungsneutralität):

$$\nabla \cdot \vec{E} = \frac{\rho}{\epsilon_0} \stackrel{!}{=} 0, \quad \nabla \times \vec{E} = -\frac{\partial \vec{B}}{\partial t},$$

$$\nabla \cdot \vec{B} = 0, \quad \nabla \times \vec{B} = \mu_0 \vec{j} + \epsilon_0 \mu_0 \frac{\partial \vec{E}}{\partial t} \approx \mu_0 \vec{j}$$

## (Stationäres) MHD-Kraftgleichgewicht

Vereinfachende Annahmen:

- Beobachter sieht stationären Zustand:  $\partial/\partial t = 0$ ,
- Keine advektierte Massenströmung:  $(\vec{u} \cdot \nabla) \vec{u} = 0$   
(aber i.a.  $\vec{u} \neq 0$ , d.h. lineare Strömung ohne Änderung erlaubt),
- Mittele über Längenskala  $L \gg \lambda_D$ , d.h.  $\rho = 0$ .
- Skalarer kinetischer Druck (isotrop, keine Scherkräfte)

MHD-Kraftgleichung:

$$m \frac{d}{dt} (n \vec{u}) = m n \underbrace{\frac{\partial \vec{u}}{\partial t}}_{=0} + mn \underbrace{(\vec{u} \cdot \nabla) \vec{u}}_{=0} = \underbrace{\rho \vec{E}}_{=0} + \vec{j} \times \vec{B} - \underbrace{\nabla \cdot \bar{\bar{P}}_0}_{=\nabla p}$$

d.h.

$$\nabla p = \vec{j} \times \vec{B} = -\nabla \cdot \bar{\bar{T}}$$

$\bar{\bar{T}}$ : Magnetischer Drucktensor (s. nächste Folie)

## Magnetischer Drucktensor

Betrachte  $\vec{j} \times \vec{B}$ -Term. Benutze:

1. Ampère'sches Gesetz:  $\mu_0 \vec{j} = \nabla \times \vec{B}$

2. Vektoridentität:  $\nabla(\vec{F} \cdot \vec{G}) = (\vec{F} \cdot \nabla) \vec{G} + \vec{F} \times (\nabla \times \vec{G}) + (\vec{G} \cdot \nabla) \vec{F} + \vec{G} \times (\nabla \times \vec{F})$

$$\vec{j} \times \vec{B} = -\frac{1}{\mu_0} \vec{B} \times (\nabla \times \vec{B}) = -\nabla \left( \frac{B^2}{2\mu_0} \right) + \frac{1}{\mu_0} (\vec{B} \cdot \nabla) \vec{B} \equiv -\nabla \cdot \overline{\overline{T}}$$

Magnetischer Drucktensor:

$$\overline{\overline{T}} \equiv \underbrace{\left( \frac{B^2}{2\mu_0} \right) \overline{\overline{1}}}_{\text{isotroper Magnetfelddruck}} - \underbrace{\left( \frac{\vec{B}\vec{B}}{\mu_0} \right)}_{\text{Zugspannung in } \vec{B}\text{-Richtung}}$$

Komponenten ( $\vec{B} \parallel z$ -Richtung):

$$\overline{\overline{T}} \equiv \begin{pmatrix} B^2/2\mu_0 & 0 & 0 \\ 0 & B^2/2\mu_0 & 0 \\ 0 & 0 & B^2/2\mu_0 \end{pmatrix} + \begin{pmatrix} 0 & 0 & 0 \\ 0 & 0 & 0 \\ 0 & 0 & -B^2/\mu_0 \end{pmatrix}$$

## Plasma-“Beta”

Betrachte weiterhin stationären Fall,  $E = 0$ , isotroper kinetischer Druck  $p$

Kraftgleichung:

$$0 = \vec{j} \times \vec{B} - \nabla p = -\nabla \left( \frac{B^2}{2\mu_0} + p \right) + \frac{1}{\mu_0} \nabla \cdot (\vec{B}\vec{B})$$

Def.:

$$\beta \equiv \frac{p}{B^2/2\mu_0}$$

Grenzfälle:

- $\beta \ll 1$ : Magnetfelddruck bestimmt Plasmabewegung
- $\beta \approx 1$  (und höher): kinetischer Druck bestimmt Plasmabewegung

## Sonderfall: Kraftfreies Gleichgewicht

Ideales MHD-Gleichgewicht:  $\nabla \cdot (\overline{\overline{T}} + \overline{\overline{P}}) = 0$ .

Bei kleinem  $\beta \equiv p/(B^2/\mu_0) \ll 1$  ist kinetischer Druck vernachlässigbar  
 $\Rightarrow$  “kraftfreies” Gleichgewicht (zwischen magnetischen Zug- und Druckspannungen)

$$0 = \nabla \cdot \overline{\overline{P}} = -\nabla \cdot \overline{\overline{T}} = \vec{j} \times \vec{B}$$

d.h.  $\vec{j} \parallel \vec{B}$

Ampère'sches Gesetz:  $\mu_0 \vec{j} = \nabla \times \vec{B} = \alpha \vec{B}$

Mit  $\text{Div}(\text{Rot}(\vec{B})) = 0$  und  $\nabla \cdot \vec{B} = 0$ :

$$0 = \nabla \cdot (\nabla \times \vec{B}) = \alpha (\nabla \cdot \vec{B}) + \vec{B} \cdot \nabla \alpha = \vec{B} \cdot \nabla \alpha = 0$$

d.h.  $\vec{B}$  liegt in Flächen mit konstantem  $\alpha$ .                      **“Magnetische Flächen”**

# Magnetfeld-Flächen sind mehrfach zusammenhängend

Beweis (für  $\beta \ll 1$ ): Betrachte Kurvenintegral entlang  $C \parallel \vec{B}$

$$\oint_C \vec{B} d\ell \neq 0$$

Stokes'scher Satz

(einfach zusammenhängende Fläche  $S$ , berandet durch  $C$ )

$$\oint_C \vec{B} d\ell = \int_S (\nabla \times \vec{B}) \cdot d\vec{A} = \int_S \alpha \vec{B} \cdot d\vec{A} \neq 0$$

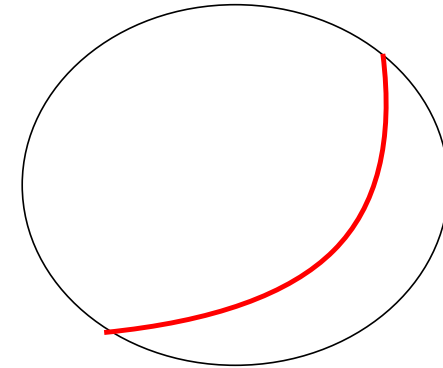
Sei  $S$  eine magnetische Fläche ( $\alpha = \text{const}$ )

$$\int_S \alpha \vec{B} \cdot d\vec{A} = \alpha \int_S \vec{B} \cdot d\vec{A} \neq 0$$

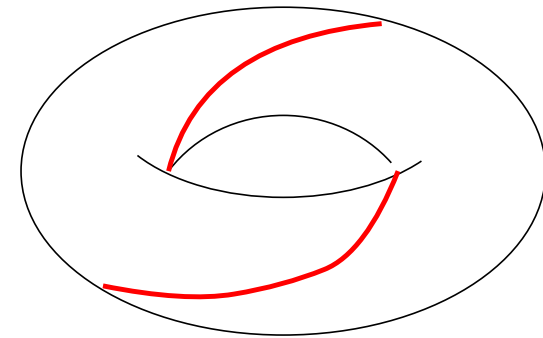
Da  $\vec{B}$  aber in der Fläche liegt (senkrecht zur Flächennormalen)

$$\vec{B} \cdot d\vec{A} = 0$$

Widerspruch, d.h.  $\vec{B}$  liegt auf *mehrfach* zusammenhängender Fläche (z.B. Torus, “Flußröhren”), nicht auf *einfach* zusammenhängender Fläche (Kugel).



Kugel



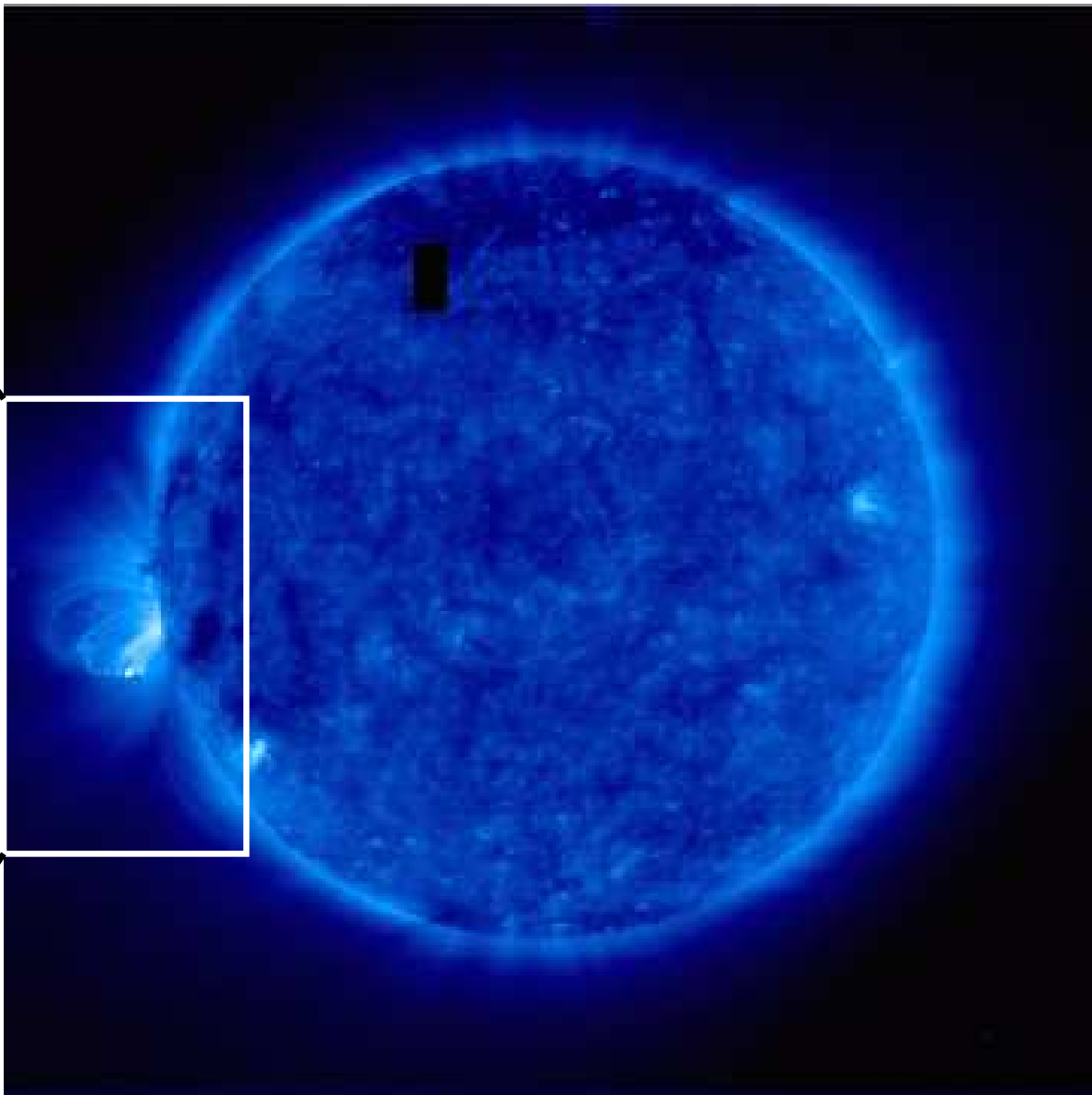
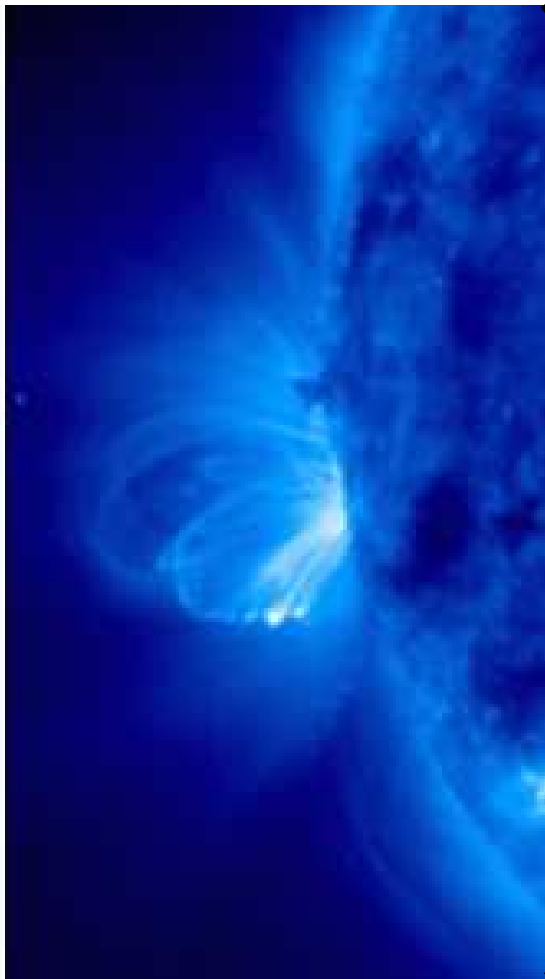
Torus



## Flussröhren in Sonnenkorona - vor Protuberanz

SOHO / EIT Fe IX/X 171A

23 Aug 1996 00:10 UT



Quelle: <http://sohowww.nascom.nasa.gov>

## Magnetische Flächen (endliches Beta)

Kraftgleichgewicht:

$$\nabla p = \vec{j} \times \vec{B}$$

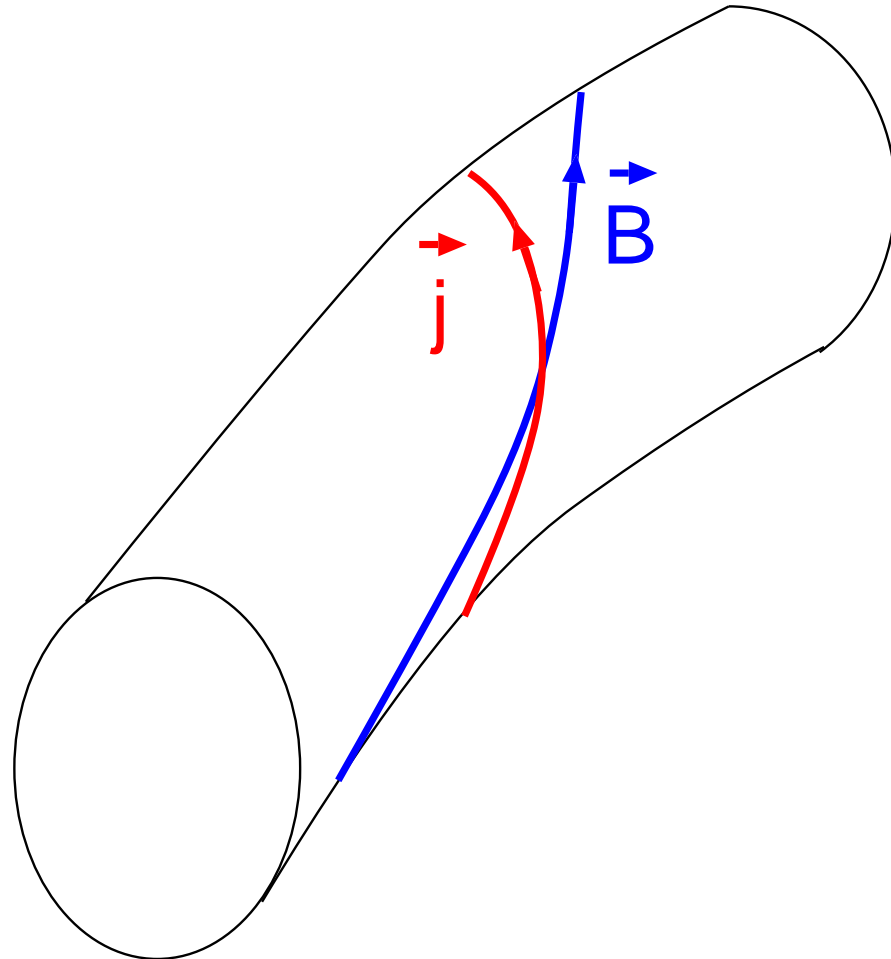
Skalarprodukt mit  $\vec{B}$  bzw.  $\vec{j}$ :

$$\nabla p \cdot \vec{B} = (\vec{j} \times \vec{B}) \cdot \vec{B} = 0$$

$$\nabla p \cdot \vec{j} = (\vec{j} \times \vec{B}) \cdot \vec{j} = 0$$

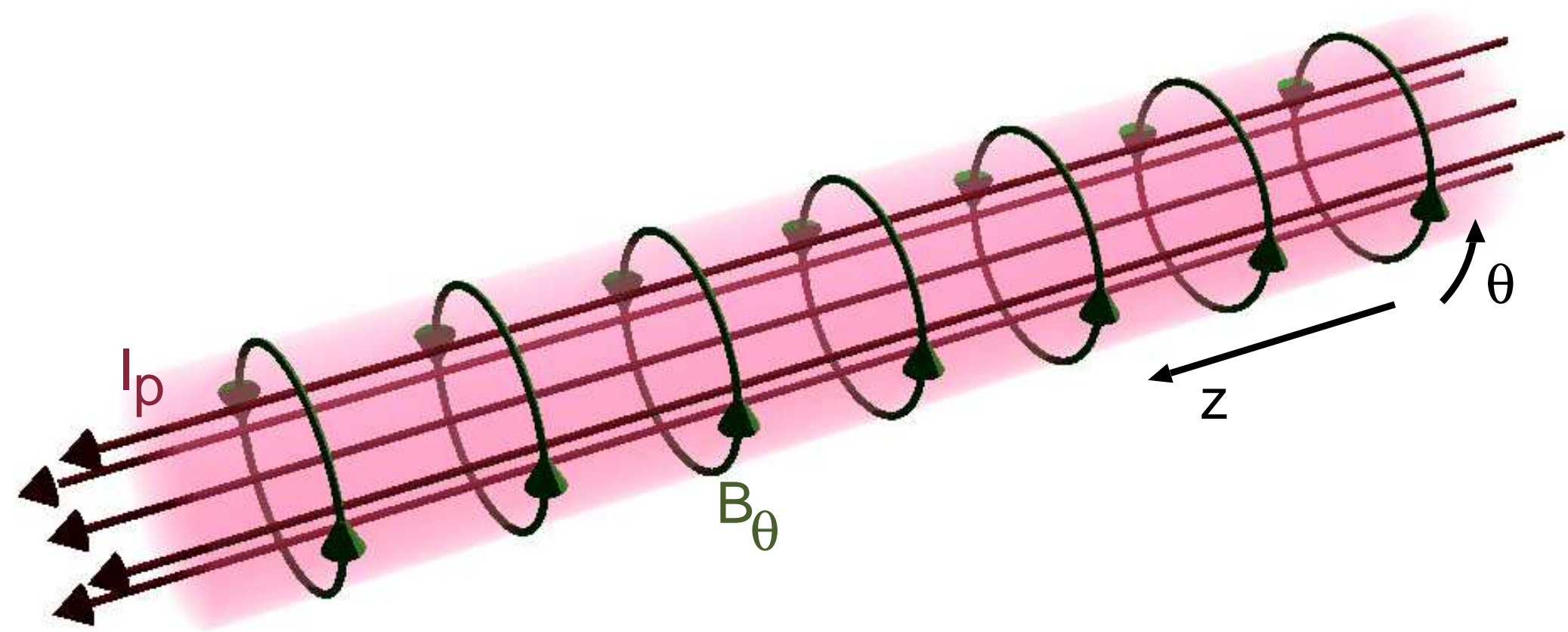
$$\Rightarrow \vec{B} \perp \nabla p, \quad \vec{j} \perp \nabla p.$$

$\vec{B}$ ,  $\vec{j}$  liegen in Flächen gleichen Drucks.



## Einfachste Konfiguration: Linearer $z$ -Pinch

Willard H Bennet, Phys. Rev. **45** (1934) 890, “Magnetically self-focusing streams” (of fast electrons)



Zylindrische Koordinaten:  $j_z, B_\theta, dp/dr$

Ein Profil kann frei gewählt werden, z.B. die Stromdichte  $j(r)$

$\Rightarrow B_\theta(r)$  (Ampère'sches Gesetz)

$\Rightarrow dp/dr$  (Kraftgleichgewicht)  $p(r)$  durch Integration mit Randbedingung, z.B.  $p(a) = 0$

## Magnetisches Feld im $z$ -Pinch

Ampère'sches Gesetz in Zylinderkoordinaten:

$$\frac{1}{r} \frac{\partial}{\partial r} (r B_\theta) = \mu_0 j_0$$

Wähle z.B. konstante Stromdichte:

$$j_z = \text{const} = j_0 = \frac{I_p}{\pi a^2}, \quad (r < a)$$

Integrieren:

$$B_\theta = \frac{\mu_0}{r} \int_0^r r' j_z dr' = \frac{\mu_0}{r} j_0 \frac{r^2}{2} = \frac{\mu_0}{2\pi} I_p \frac{r}{a^2}, \quad (r \leq a)$$

Aussenbereich ( $j_z = 0$ ):

$$B_\theta = \frac{\mu_0}{2\pi} I_p \frac{1}{r}, \quad (r > a)$$

## Radiale Kraftbilanz im $z$ -Pinch

$$\frac{dp}{dr} = -j_z B_\theta = -\frac{I_p}{\pi a^2} \frac{\mu_0 I_p}{2\pi a^2} r$$

Randbedingung:

$$p(a) = 0 \quad (T(a) = 0, n(a) = 0):$$

$$p(r) = \frac{\mu_0 I_p^2}{4\pi^2 a^2} \left[ 1 - \left( \frac{r}{a} \right)^2 \right] \quad (r \leq a)$$

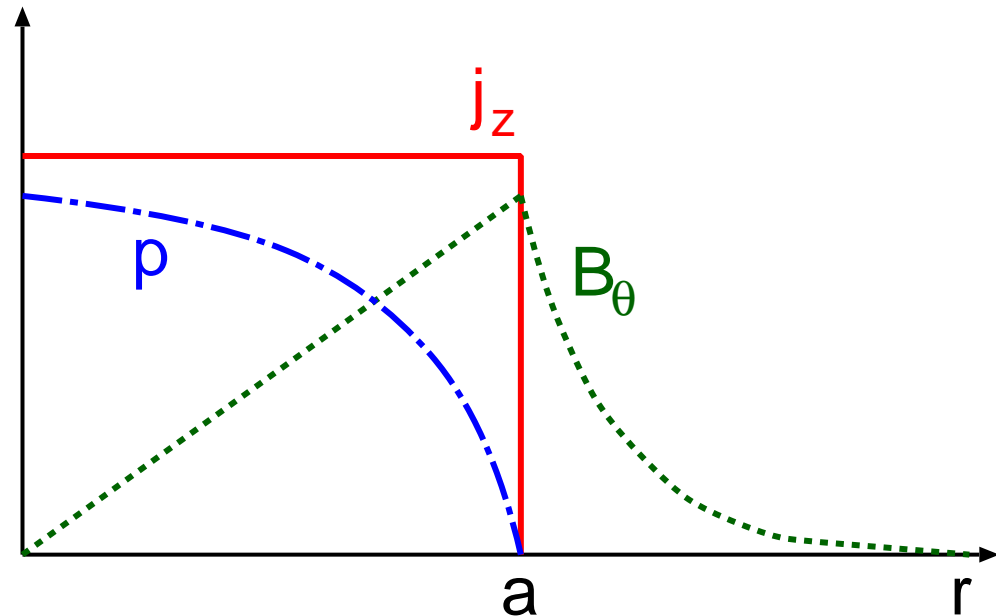
und

$$p(r) = 0 \quad (r > a)$$

Berechne  $\beta$ :

$$\beta = \beta_\theta = \frac{2\mu_0 \langle p \rangle}{B_\theta^2(a)} = 1$$

(allgemeines Resultat für den  $z$ -pinch, unabhängig vom Druckprofil)

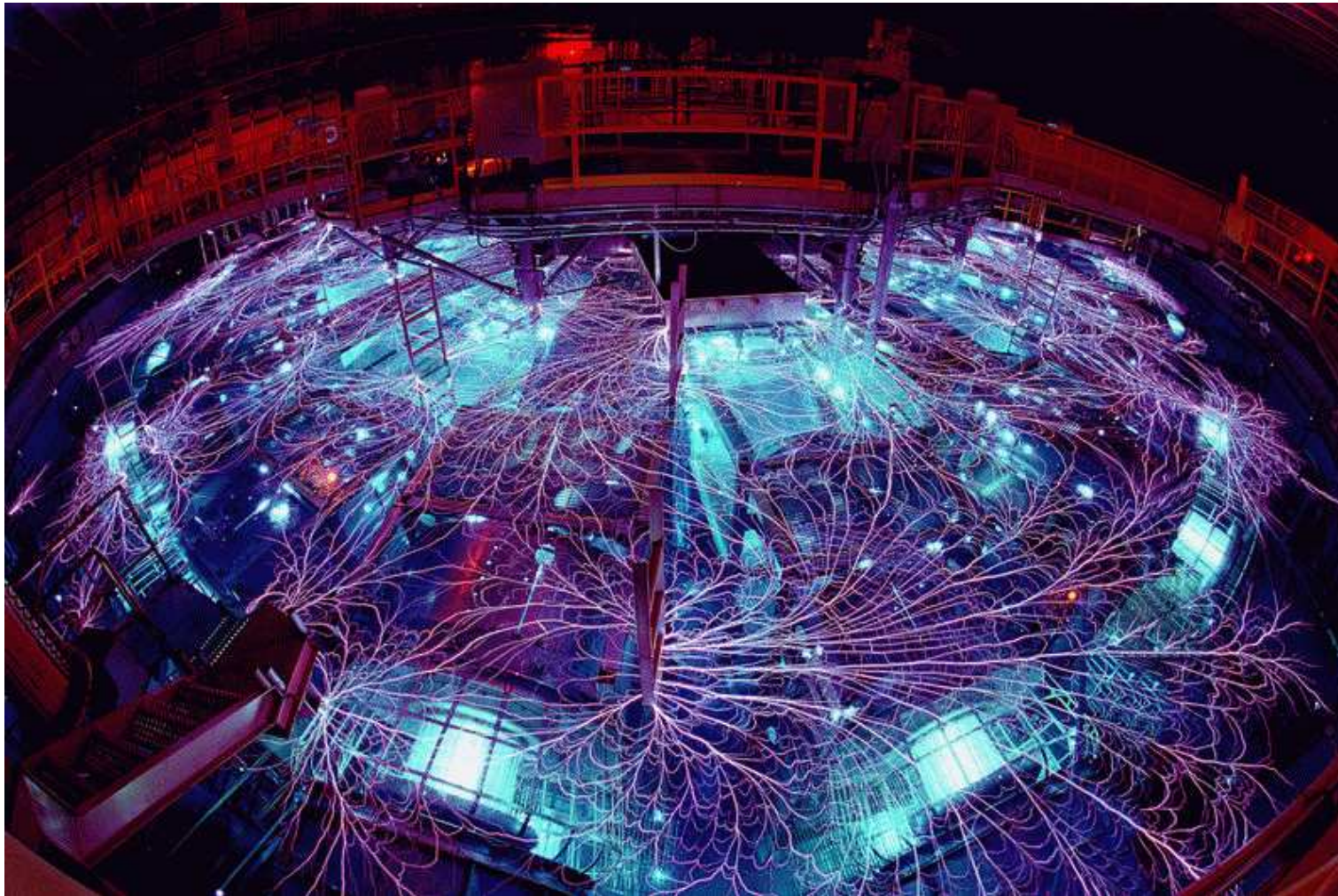




## “Z machine”

Sandia National Laboratories, Albuquerque, NM, U.S.A.

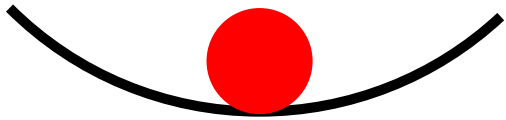
20 MA Wolframdraht-Implosion, starke Röntgen-Lichtquelle



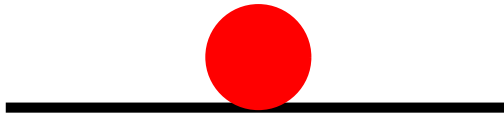
Quelle: <http://en.wikipedia.org/wiki/Image:Zmachine.jpg>, <http://zpinch.sandia.gov/>

## Ist der $z$ -Pinch *stabil*?

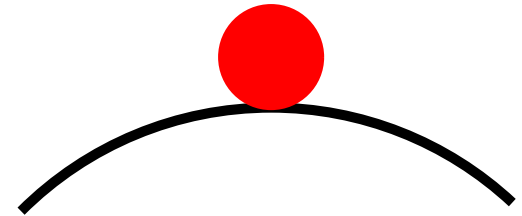
Kraft-Gleichgewichte können sein:



stabil



indifferent



labil (instabil)

Potenzielle Energie  $W$ .

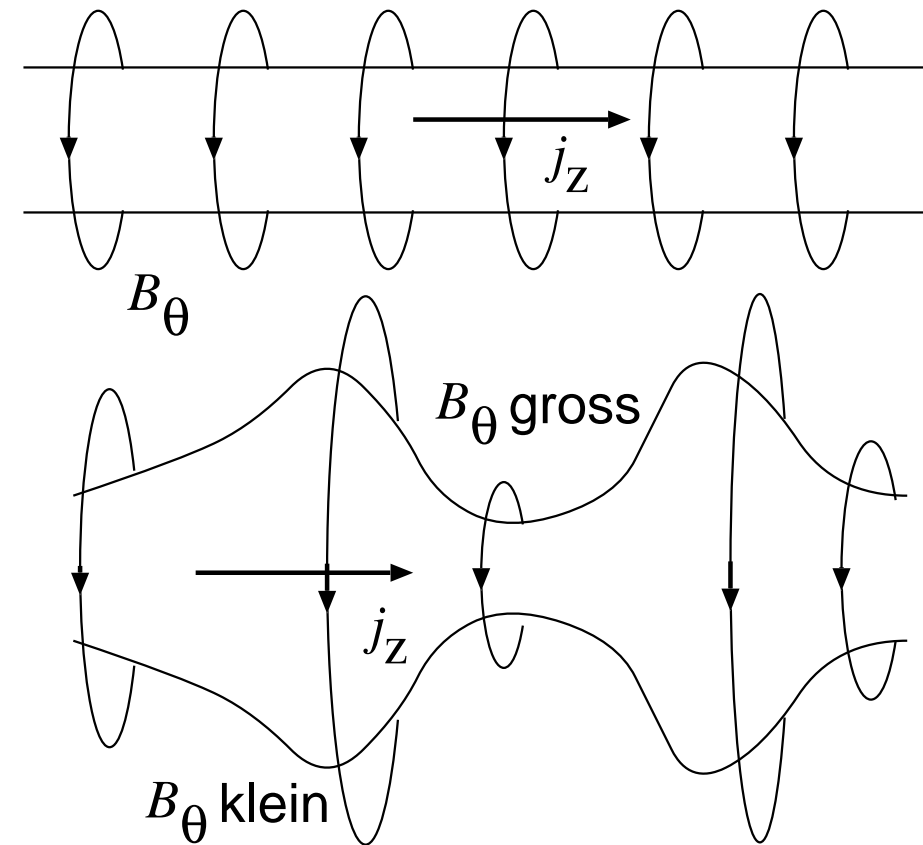
Kraftgleichgewicht:  $dW/d\xi = F_{\text{net}} = 0$

Stabilität:  $d^2W/d\xi^2 > 0$

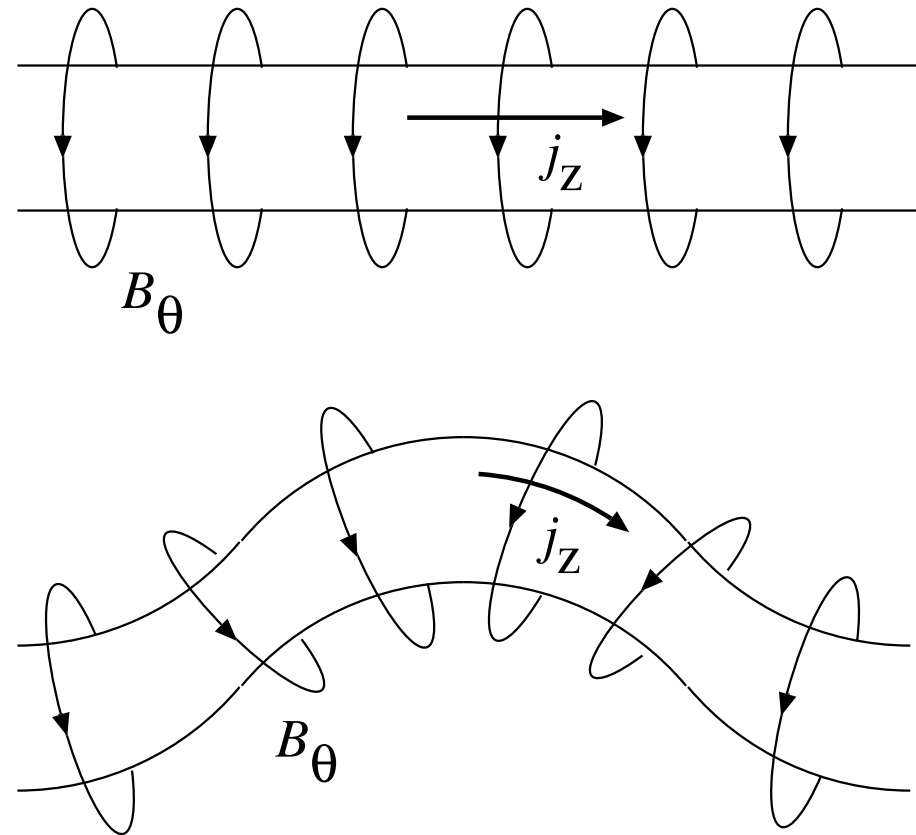
Instabilität:  $d^2W/d\xi^2 < 0$

# Pinch-Instabilität

## *Sausage* (Würstchen-) Instabilität



## *Kink* (Knick-) Instabilität



Ursache: Steigender Magnetfelddruck  $B_\theta^2/2\mu_0$  findet keinen Gegendruck

- kinetischer (hydrostatischer) Druck bleibt konstant
  - keine weitere rücktreibende Kraft
- beschleunigte Störung



# Beobachtung der *sausage*-Instabilität

F L Curzon *et al*, Proc. Roy. Soc. A **257** (1960) 386

Schnelle Aufnahmen mit Kerr-Zelle (elektro-optische Polarisationsdrehung) zwischen zwei gekreuzten Polarisatoren.

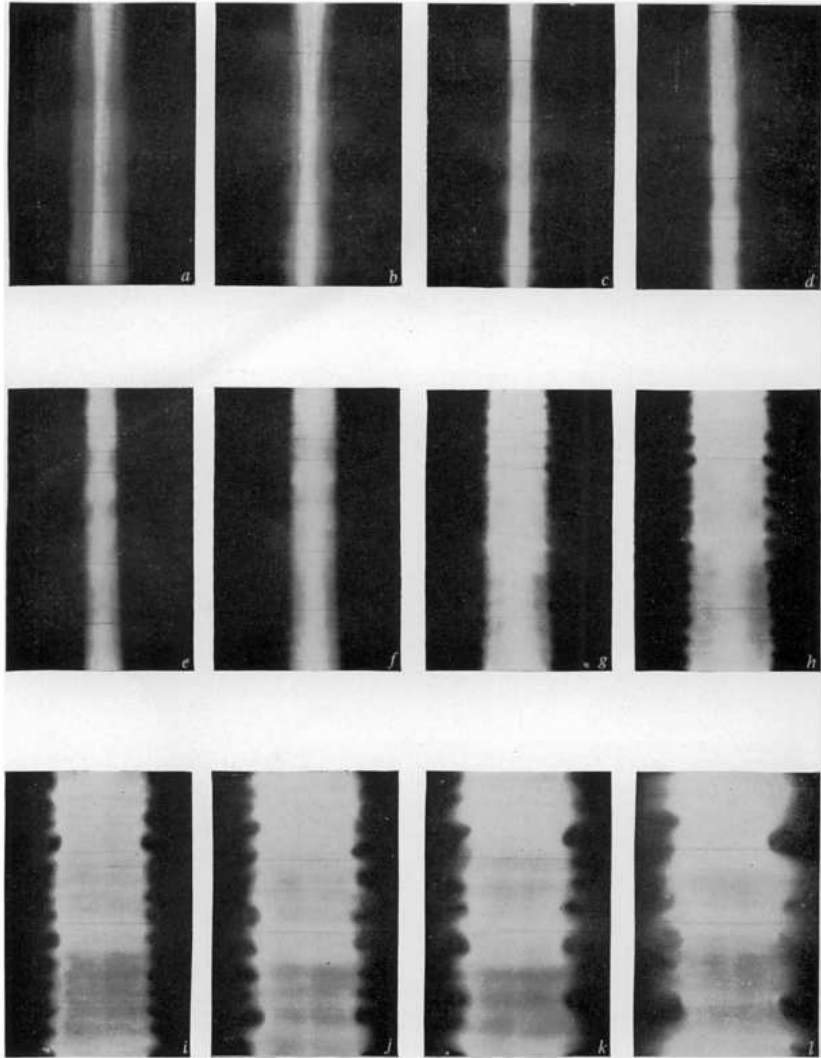


FIGURE 2. Kerr cell photographs ( $0.4 \mu\text{s}$  exposure) of a condenser discharge in argon. Circuit capacity  $1940 \mu\text{F}$ ; condenser voltage  $2.5 \text{ kV}$ . Circuit inductance  $150 \text{ nH}$ ; gas pressure.  $1000 \mu$ . The discharge tube diameter is equal to the width of the individual frames.

(a) $t = 18.2 \mu\text{s}$	(b) $t = 19.4 \mu\text{s}$	(c) $t = 21.0 \mu\text{s}$	(d) $t = 21.8 \mu\text{s}$
(e) $t = 22.5 \mu\text{s}$	(f) $t = 23.6 \mu\text{s}$	(g) $t = 24.3 \mu\text{s}$	(h) $t = 26.0 \mu\text{s}$
(i) $t = 27.2 \mu\text{s}$	(j) $t = 29.5 \mu\text{s}$	(k) $t = 31.3 \mu\text{s}$	(l) $t = 34.0 \mu\text{s}$

## Theta- ( $\theta$ -) pinch

Rein axiales Magnetfeld  $\vec{B} = (0, 0, B_z(r))$ ,  
 interner und/oder externer azimuthaler Strom  $j_\theta$ .

Gleichgewichtsbedingung:

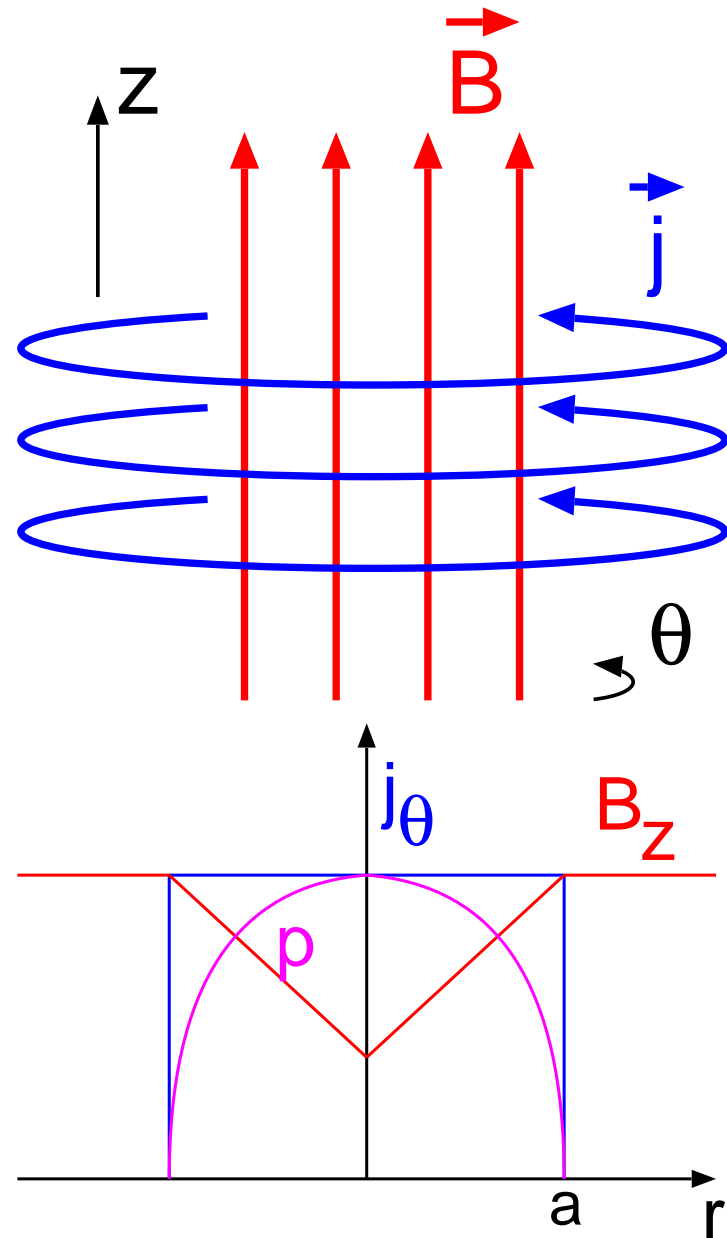
$$\frac{d}{dr} \left( p + \frac{B_z^2}{2\mu_0} \right) = 0$$

D.h.  $p + B_z^2/2\mu_0 = \text{const.} = B_0^2/2\mu_0$   
 $\rightarrow$  Erfordert Vakuumfeld  $B_0 > (2\mu_0 p_{\max})^{1/2}$ , d.h.

$$0 \leq \beta \equiv p/(B^2/2\mu_0) \leq 1$$

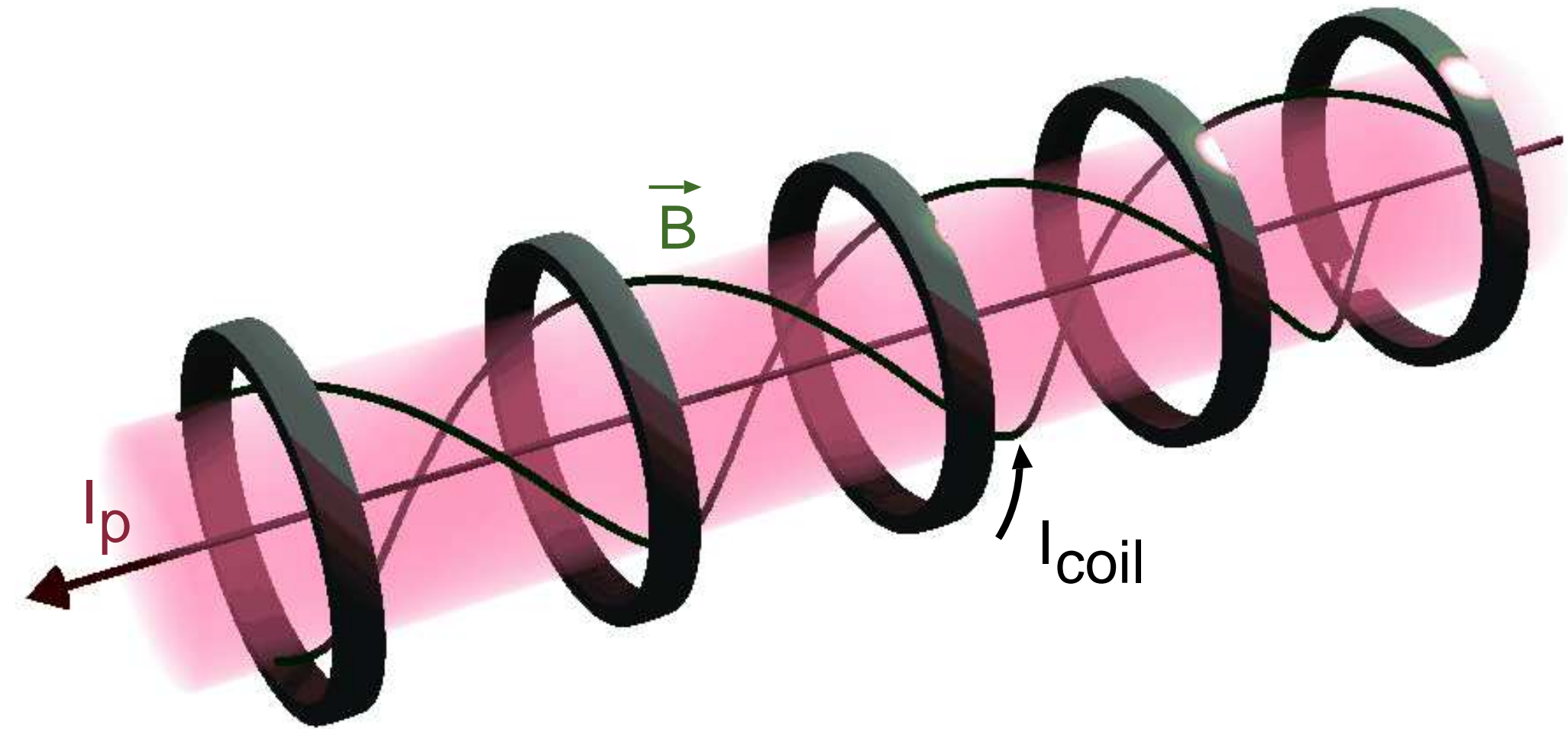
Stromdichte (Ampère'sches Gesetz):

$$j_\theta = -\frac{1}{\mu_0} \frac{dB_z}{dr}$$



## Der *screw pinch*

= *z-pinch* + Zusätzliches axiales Führungsfeld:  $\Rightarrow$  Erhöhte Stabilität.



## Der *screw pinch*

Verallgemeinerung von  $z$ - und  $\theta$ -pinch:  $\vec{B} = (0, B_\theta(r), B_z(r))$

Gleichgewichtsbedingung:

$$\frac{d}{dr} \left( p + \frac{B_\theta^2}{2\mu_0} + \frac{B_z^2}{2\mu_0} \right) = - \frac{B_\theta^2}{\mu_0 r}$$

Anders geschrieben:

$$p^{*'} \equiv \frac{d}{dr} \left( p + \frac{B_z^2}{2\mu_0} \right) = - \frac{B_\theta}{\mu_0 r} (r B_\theta)'$$

Formal gelten Lösungen des  $z$ -pinch, jedoch  $p \rightarrow p^*$  (beinhaltet Axialfelddruck)

Ohne Beweis:

$$\beta_\theta^* = \beta_\theta + \frac{\langle B_z^2 \rangle - B_z^2(a)}{B_\theta^2(a)} = 1$$

Im Unterschied zum  $z$ -Pinch ist  $\beta_\theta \neq 1$  möglich:

- $\beta_\theta > 1$ :  $\langle B_z^2 \rangle < B_z^2(a)$   $B_z$  steigt nach außen: Diamagnetismus
- $\beta_\theta < 1$ :  $\langle B_z^2 \rangle > B_z^2(a)$   $B_z$  fällt nach außen ab: Paramagnetismus

## Zusammenfassung

- Stationäre Plasmakonfigurationen ergeben sich durch Kraftgleichgewicht zwischen Plasmadruck und Magnetfelddruck (Expansion) und Magnetfeldspannung (Kompression)
- Im “kraftfreien” Gleichgewicht ist der Plasmadruck vernachlässigbar klein und Druck- und Zugspannungen des Magnetfelds alleine gleichen einander aus. Die Magnetfeld-Topologie ist zwei- oder mehrfach zusammenhängend - “Flußröhren”. I.a. sind die Magnetfeldlinien mit unterschiedlicher Steigung je nach Radius verschraubt.
- Im Kraftgleichgewicht mit endlichen Druck ( $\nabla p \neq 0$ ) liegen  $\vec{j}$  und  $\vec{B}$  ebenfalls auf Flußröhren, Flächen konstanten Drucks.
- Einfache (1-D) Grenzfälle mit Zylindersymmetrie sind:
  - der  $z$ -Pinch ( $B_z = 0$ ,  $\beta_\theta = 1$ , universell instabil),
  - der  $\theta$ -Pinch ( $B_\theta = 0$ ,  $\beta \leq 1$ ) und
  - der screw pinch ( $B_\theta \neq 0$ ,  $B_z \neq 0$ )